

## **Aplicações práticas para o ensino e aprendizagem das integrais de linha e superfície**

**Nathália Muniz**

nathalia-muniz@hotmail.com

Universidade Federal de Uberlândia, Uberlândia, MG, Brazil

**Taciana Oliveira Souza**

tacioli@ufu.br

Universidade Federal de Uberlândia, Uberlândia, MG, Brazil

---

### **Resumo**

As integrais de linha são uma ferramenta extremamente importante para a realização de diversos cálculos. Neste artigo serão mostradas suas aplicações para calcular o trabalho realizado para que um pistão se mova. Tal aplicabilidade é utilizada para ilustrar a interpretação física da integral de linha de um campo vetorial. Ademais, será possível também visualizar a aplicabilidade das integrais de superfície, com a utilização dos Teoremas de Stokes e Gauss para a transformação das Equações de Maxwell da forma integral para a forma diferencial.

### **Palavras-chave**

Integrais de Linha, Trabalho, Integral de Superfície, Teorema de Stokes, Teorema de Gauss.

## **1 Introdução**

Este artigo trata de algumas aplicações de conceitos aprendidos em cursos de Cálculo. Estas são mostradas em áreas da Engenharia, na tentativa de despertar o interesse dos discentes para tais conteúdos pois, muitas vezes durante o curso dessas matérias, eles se perguntam a utilidade de tais conceitos. Para tanto, são mostradas aplicações das integrais de linha no cálculo do trabalho realizado por pistões em motores distintos (um processo chamado politrópico). Ademais, é possível visualizar também

a aplicação dos Teoremas de Stokes e Gauss no processo de transformação das quatro equações integrais de Maxwell em diferenciais. Estas são amplamente utilizadas na área do eletromagnetismo.

## 2 Conceitos teóricos

Nesta seção, serão discutidos alguns conceitos teóricos para um melhor entendimento da temática abordada pelo artigo.

### 2.1 Parametrização de curvas

Uma curva  $C$  no espaço é chamada parametrizável se existir uma função vetorial de uma variável real,  $\vec{r}(t) = x(t)\vec{i} + y(t)\vec{j} + z(t)\vec{k}$ , que a descreva, sendo  $x(t)$ ,  $y(t)$  e  $z(t)$  funções reais de uma variável real. Em outras palavras, se  $P$  é um ponto de  $C$ , então existe um parâmetro  $t$  tal que

$$P = (x(t), y(t), z(t)).$$

Uma vez escolhida uma função vetorial que descreve  $C$ , então dizemos que  $C$  é uma curva parametrizada.

### 2.2 Curva parametrizada suave

Uma curva  $C$  é chamada suave se for descrita por uma função vetorial  $\vec{r}(t) = x(t)\vec{i} + y(t)\vec{j} + z(t)\vec{k}$  tal que as derivadas  $x'(t)$ ,  $y'(t)$  e  $z'(t)$  são contínuas e, para cada  $t$ ,  $\vec{r}'(t) \neq \vec{0}$ .

### 2.3 Definição da integral de linha de um campo vetorial

Seja  $\vec{F}(x, y, z) = L(x, y, z)\vec{i} + Q(x, y, z)\vec{j} + R(x, y, z)\vec{k}$  um campo vetorial contínuo sobre uma curva suave  $C$  descrita por  $\vec{r}(t)$ ,  $t \in [a, b]$ , isto é, as funções coordenadas  $L$ ,  $Q$  e  $R$  são contínuas em cada ponto de  $C$ .

A integral de linha de  $\vec{F}$  ao longo de  $C$ , denotada por  $\int_C \vec{F} \cdot d\vec{r}$ , é estabelecida como a integral definida no intervalo  $[a, b]$  do produto escalar  $\vec{F}(x(t), y(t), z(t)) \cdot \vec{r}'(t)$ , isto é

$$\int_C \vec{F} \cdot d\vec{r} = \int_a^b \vec{F}(x(t), y(t), z(t)) \cdot \vec{r}'(t) dt.$$

Observe que

$$\int_a^b \vec{F}(x(t), y(t), z(t)) \cdot \vec{r}'(t) dt = \int_a^b [L(x(t), y(t), z(t))x'(t) + Q(x(t), y(t), z(t))y'(t) + R(x(t), y(t), z(t))z'(t)] dt,$$

o que sugere a notação

$$\int_C \vec{F} \cdot d\vec{r} = \int_C Ldx + Qdy + Rdz.$$

## 2.4 Significado físico da integral de linha de um campo vetorial

Veremos nesta seção que a integral de linha de um campo vetorial corresponde ao trabalho realizado por uma força (relação entre força e deslocamento).

O trabalho realizado por uma força constante  $\vec{F}$  para mover, em linha reta, uma partícula do ponto  $A$  ao ponto  $B$  é dado por:

$\tau = (\text{componente da força na direção do movimento}) \times (\text{distância})$ , isto é:

$$\begin{aligned} \tau &= \|\vec{F}\| \cos(\alpha) \|\vec{AB}\| \\ &= \|\vec{F}\| \|\vec{AB}\| \cos(\alpha) \end{aligned}$$

Ou seja, o trabalho é calculado pelo produto escalar:

$$\tau = \vec{F} \cdot \vec{AB}$$

De posse desse conceito, será estabelecida uma ideia análoga para quando a força é variável  $\vec{F}(x, y, z)$  com deslocamento ao longo de uma curva  $C$ .

Supondo que  $C$  é uma curva suave descrita por  $\vec{r}(t) = x(t)\vec{i} + y(t)\vec{j} + z(t)\vec{k}$

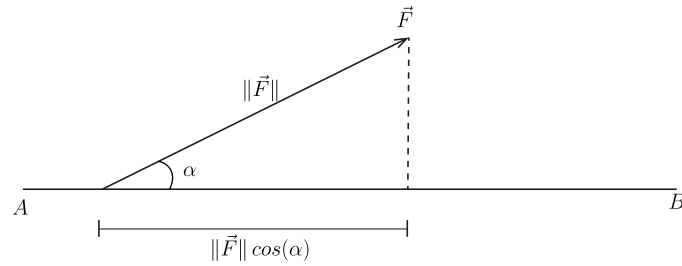


Figura 1: Ilustração do cálculo do trabalho.

$z(t)\vec{k}$ ,  $t \in [a, b]$  e  $\vec{F}(x, y, z)$  um campo vetorial contínuo em cada ponto de  $C$ . Então,  $[a, b]$  será dividido em subintervalos  $[t_{i-1}, t_i]$ ,  $i = 1, \dots, n$ , todos de mesmo comprimento  $\Delta t = \frac{b-a}{n}$ . Isso produz uma divisão de  $C$  em subarcos  $\widehat{P_{t_{i-1}}P_{t_i}}$ ,  $i = 1, \dots, n$ , onde  $P_{t_i} = (x(t_i), y(t_i), z(t_i))$ , veja a figura 2.

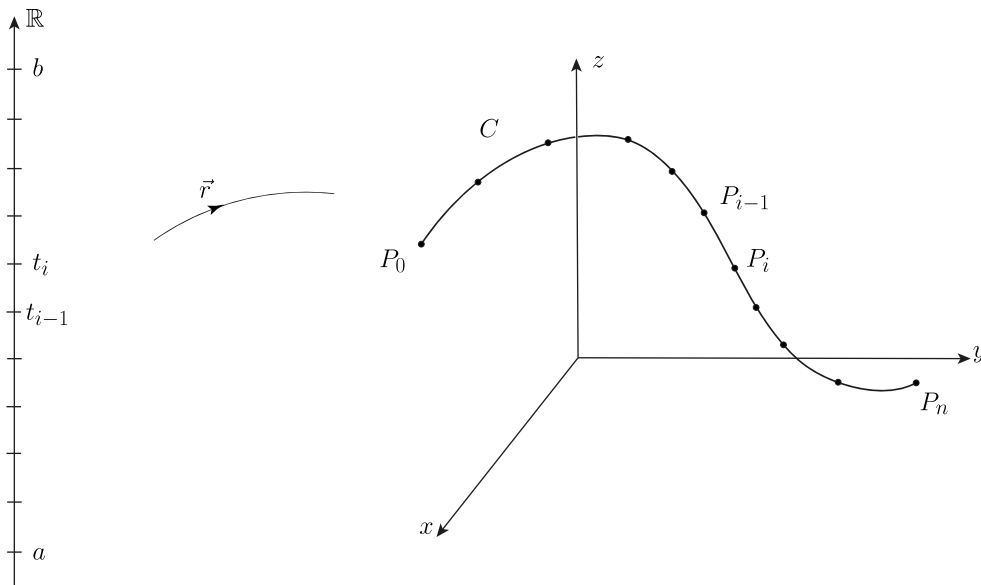


Figura 2: Divisão da curva C em subarcos.

O comprimento do subarco  $\widehat{P_{t_{i-1}}P_{t_i}}$  será denotado por  $\Delta s_i$

Se  $\Delta s_i \rightarrow 0$ , isto é,  $n \rightarrow \infty$ , então o movimento da partícula no subarco  $\widehat{P_{t_{i-1}}P_{t_i}}$  ocorre aproximadamente na direção de  $\overrightarrow{P_{t_{i-1}}P_{t_i}} \approx \vec{r}'(t_{i-1})\Delta t$ . Neste contexto o símbolo  $\approx$  indica a “proximidade” dos vetores  $\overrightarrow{P_{t_{i-1}}P_{t_i}}$  e  $\vec{r}'(t_{i-1})\Delta t$  estabelecida por  $\vec{r}'(t_{i-1}) = \lim_{\Delta t \rightarrow 0} \frac{\overrightarrow{P_{t_{i-1}}P_{t_i}}}{\Delta t}$ . Ademais, a força va-

riável  $\vec{F}(x, y, z)$  que atua para mover a partícula ao longo de  $\widehat{P_{t_{i-1}}P_{t_i}}$  é aproximadamente igual à força constante  $\vec{F}_{t_{i-1}} = \vec{F}(x(t_{i-1}), y(t_{i-1}), z(t_{i-1}))$ .

Portanto, o trabalho realizado por  $\vec{F}$  para mover a partícula ao longo de  $\widehat{P_{t_{i-1}}P_{t_i}}$  é aproximadamente igual ao trabalho realizado pela força constante  $\vec{F}_{t_{i-1}}$  para mover a partícula ao longo do segmento  $\overline{P_{t_{i-1}}P_{t_i}}$ , isto é,

$$\vec{F}_{t_{i-1}} \cdot \overrightarrow{P_{t_{i-1}}P_{t_i}} \approx \vec{F}_{t_{i-1}} \cdot \vec{r}'(t_{i-1})\Delta t.$$

Essa aproximação melhora à medida que  $\Delta t \rightarrow 0$ , isto é,  $n \rightarrow \infty$ . Assim, definimos o trabalho total realizado por  $\vec{F}(x, y, z)$  para mover uma partícula ao longo de  $C$  por

$$\begin{aligned} \tau &= \lim_{n \rightarrow \infty} \sum_{i=1}^n \vec{F}(x(t_{i-1}), y(t_{i-1}), z(t_{i-1})) \cdot \vec{r}'(t_{i-1})\Delta t \\ &= \int_a^b \vec{F}(x(t), y(t), z(t)) \cdot \vec{r}'(t) dt \\ &= \int_C \vec{F} \cdot d\vec{r}. \end{aligned}$$

Observações:

(1) Denotando por  $-C$  a curva que corresponde à  $C$  percorrida no sentido oposto, então

$$\begin{aligned} - \int_C \vec{F} \cdot d\vec{r} &= - \int_a^b \vec{F}(x(t), y(t), z(t)) \cdot \vec{r}'(t) dt \\ &= \int_a^b \vec{F}(x(t), y(t), z(t)) \cdot -\vec{r}'(t) dt \\ &= \int_{-C} \vec{F} \cdot d\vec{r}. \end{aligned}$$

Logo, a orientação da curva, isto é, a forma como ela é percorrida, tem

influência no cálculo da integral de linha de um campo vetorial.

(2) Se  $z(t) = 0$ , então  $C$  é uma curva no plano e, portanto,

$$\int_C \vec{F} \cdot d\vec{r} = \int_a^b \vec{F}(x(t), y(t)) \cdot \vec{r}'(t) dt = \int_C Ldx + Qdy.$$

### 3 Resultados e Discussão

#### 3.1 O trabalho realizado por pistões

Nesta seção, baseada em [4], [5] e [6], exploramos a aplicação da integral de linha no cálculo do trabalho realizado por pistões.

##### 3.1.1 O trabalho realizado por um pistão durante um ciclo de um motor de quatro cilindros

Iniciamos com a análise da figura 3, na qual cada pistão se move para cima e para baixo e está conectado ao virabrequim por um braço-pivô.

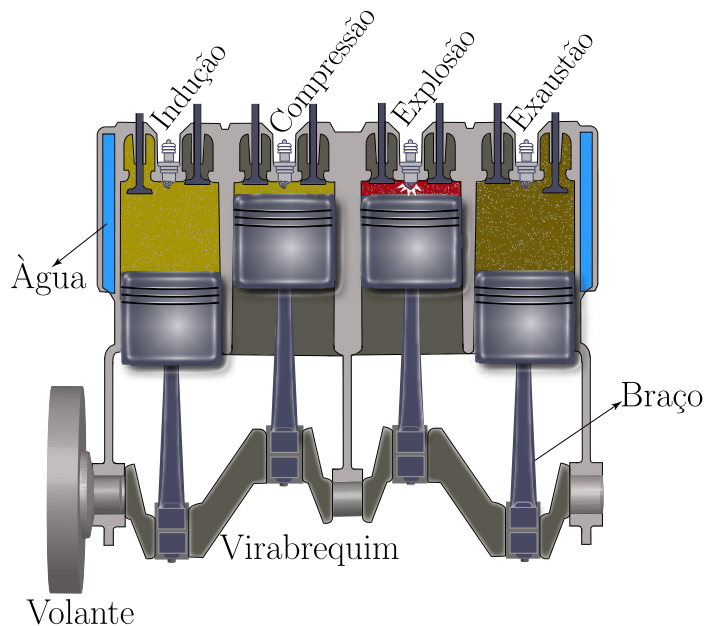


Figura 3: Motor de quatro cilindros de combustão interna.

Sejam  $P(t)$  e  $V(t)$ , respectivamente, a pressão e o volume, dentro de

um cilindro no instante  $t$ , onde  $a \leq t \leq b$  é o tempo necessário para um ciclo completo. A curva  $C$ , veja a figura 4, ilustra como  $P$  e  $V$  variam, por exemplo, no ciclo de um motor de quatro cilindros.

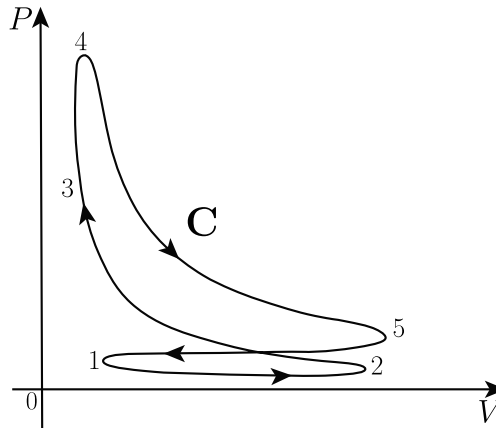


Figura 4: Comportamento de  $P$  e  $V$  durante um ciclo.

Durante o estágio de indução (de 1 a 2) a mistura de ar e gasolina à pressão atmosférica é aspirada para o interior do cilindro pela válvula de entrada à medida que o pistão se move para baixo. Então, o pistão comprime a mistura com a válvula fechada, no estágio de compressão (de 2 a 3), no qual o volume diminui e a pressão aumenta. Em 3, a vela de ignição produz uma faísca que provoca a combustão, elevando a temperatura e a pressão com um volume praticamente constante até 4. Assim, com a válvula fechada, uma expansão veloz do volume força o pistão para baixo durante o estágio de potência (de 4 a 5). A válvula, então, se abre, a temperatura e a pressão diminuem e a energia mecânica armazenada no volante impulsiona o pistão para cima, empurrando os gases formados no interior do cilindro, devido à combustão, e fazendo com que eles sejam eliminados pela válvula, na fase da exaustão. Esta se fecha e a válvula de entrada é aberta. Assim, o ciclo se reinicia.

O trabalho realizado pelo pistão durante um ciclo é

$$\tau = \int_C P dV. \tag{1}$$

Assim, com base na equação (1), será apresentada uma aplicação envolvendo mecanismos dotados de pistões.

Inicialmente, será discutido porque a integral

$$\tau = \int_C P dV$$

calcula o trabalho realizado por um pistão para que o mesmo se mova.

Neste caso, a força que atua sobre o pistão é  $\vec{F} = P(t) A\vec{i} + 0\vec{j}$ , onde  $A$  é a área do topo do pistão. Seja  $x(t)$  a distância do pistão até o topo do cilindro no instante  $t$ , então o trabalho realizado pelo pistão é

$$\tau = \int_C \vec{F} \cdot d\vec{r}, \tag{2}$$

onde  $C$  é descrita por  $\vec{r}(t) = x(t)\vec{i} + 0\vec{j}$ ,  $t \in [a, b]$ . Com isso, desenvolvendo a equação (2), temos que,

$$\tau = \int_a^b \vec{F}(\vec{r}(t)) \cdot \vec{r}'(t) dt = \int_a^b AP(t)x'(t) dt = \int_a^b P(t)Ax'(t) dt.$$

O volume do cilindro no instante  $t$  é dado por

$$V(t) = Ax(t) \text{ (área da base } \times \text{ altura).}$$

Assim,  $V'(t) = Ax'(t)$  e observando que a curva  $C$  é descrita por  $\vec{r}(t) = V(t)\vec{i} + P(t)\vec{j}$ ,  $a \leq t \leq b$ , obtém-se

$$\tau = \int_a^b P(t)Ax'(t) dt = \int_a^b P(t)V'(t) dt = \int_C P dV.$$

Logo, a equação (1) é válida para o cálculo do trabalho realizado por um pistão.

Além disso, utilizando o Teorema de Green, é possível calcular o trabalho por meio da subtração das áreas das regiões  $D_1$  e  $D_2$  delimitadas



pelas curvas  $C_1$  e  $C_2$  respectivamente, mostradas na figura 5. De fato, observamos que a curva  $C$  pode ser descrita como a união de duas curvas fechadas  $C_1$  e  $C_2$  que têm como ponto inicial e final o ponto de autointerseção de  $C$ . Por definição, a integral de linha ao longo de  $C$  é dada pela soma das integrais de linha ao longo de  $C_1$  e  $C_2$ , veja [5, página 955]. Assim,

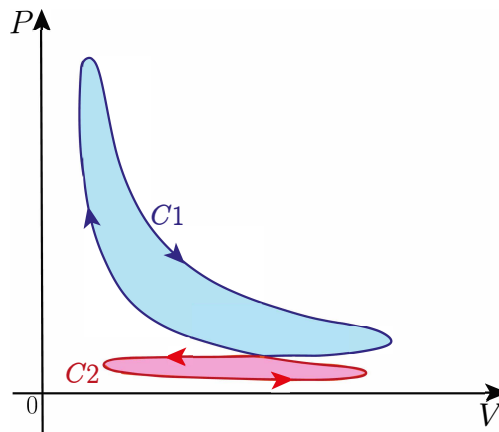


Figura 5: Curvas  $C_1$  (azul) e  $C_2$  (vermelho).

$$\begin{aligned} \tau &= \int_C PdV \\ &= \int_{C_1} PdV + \int_{C_2} PdV \\ &= - \int_{-C_1} PdV + 0 dP + \int_{C_2} PdV + 0 dP. \end{aligned}$$

Observamos que as curvas  $C_1$  e  $C_2$  satisfazem as hipóteses do Teorema de Green. Assim, aplicando o teorema, obtemos

$$\int_{-C_1} PdV + 0 dP = \iint_{D_1} \left( \frac{\partial 0}{\partial V} - \frac{\partial P}{\partial P} \right) dA = - \iint_{D_1} 1 dA = - \text{área de } D_1,$$

$$\int_{C_2} P dV + 0 dP = \iint_{D_2} \left( \frac{\partial 0}{\partial V} - \frac{\partial P}{\partial P} \right) dA = - \iint_{D_2} 1 dA = - \text{área de } D_2.$$

Portanto,

$$\tau = -(- \text{área de } D_1) + (- \text{área de } D_2).$$

Logo,  $\tau = \text{área de } D_1 - \text{área de } D_2.$

### 3.1.2 Calculando o trabalho realizado por um pistão em um processo politrópico

Os ciclos de geração de potência retiram calor de uma fonte submetida a altas temperaturas. Considere como sistema o gás contido num cilindro com êmbolo, como mostrado na figura 6.

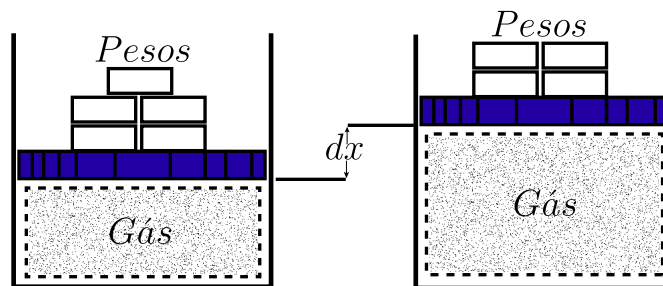


Figura 6: Êmbolo.

Ao retirar um dos pequenos pesos do êmbolo, é provocado um movimento para cima deste, de uma distância  $dx$ . Considerando este pequeno deslocamento  $dx$  como um processo praticamente estático, pode-se calcular o trabalho,  $d\tau$ , realizado pelo sistema durante este procedimento. A força total sobre o êmbolo é o produto  $P A$ , no qual  $P$  é a pressão do gás e  $A$  é a área do êmbolo. Assim,  $d\tau = P A dx$ .

Como o produto área por altura é equivalente ao volume, então  $d\tau = P dV$ .

A relação entre  $P$  e  $V$  é dada em termos de dados experimentais ou

na forma gráfica (como, por exemplo, o traço em um osciloscópio). Neste caso, a relação entre as duas grandezas acima citadas é tal que proporciona o ajuste de uma relação analítica entre elas. Um exemplo comum desse tipo de relação é o caso de um processo chamado politrópico, no qual  $PV^n = k$ , sendo  $k$  uma constante, durante todo o processo. O expoente  $n$  pode assumir qualquer valor real dependendo do processo particular sob análise. Sendo 1 e 2 os estágios inicial e final, respectivamente, temos

$$PV^n = k = P_1V_1^n = P_2V_2^n \tag{3}$$

sendo  $P_1 = P(1)$ ,  $P_2 = P(2)$ ,  $V_1 = V(1)$  e  $V_2 = V(2)$ . Assim,

$$P = \frac{k}{V^n} = \frac{P_1V_1^n}{V^n} = \frac{P_2V_2^n}{V^n}. \tag{4}$$

Para esse tipo de processo, calculando a integral da equação (4), obtemos

$$\int_1^2 P dV = k \int_1^2 \frac{dV}{V^n} = \frac{k}{1-n} \cdot (V_2^{(1-n)} - V_1^{(1-n)}).$$

Substituindo  $k$  por  $P_1V_1^n$  no primeiro termo da expressão anterior e  $k$  por  $P_2V_2^n$  no segundo termo da expressão anterior, temos

$$\frac{P_2V_2^nV_2^{(1-n)} - P_1V_1^nV_1^{(1-n)}}{1-n}.$$

Logo, 
$$\int_1^2 P dV = \frac{P_2V_2 - P_1V_1}{1-n}.$$

Porém, este resultado é válido sempre que  $n$  é diferente de 1 ( $n \neq 1$ ). No caso  $n = 1$ , temos o seguinte:

$$PV = k = P_1V_1 = P_2V_2$$

$$\int_1^2 P dV = k \int_1^2 \frac{dV}{V} = P_1V_1 \int_1^2 \frac{dV}{V} = P_1V_1 \cdot \ln \left( \frac{V_2}{V_1} \right).$$

O processo politrópico, como já dito anteriormente, mostra um caso particular de relação entre  $P$  e  $V$ .

### 3.1.3 Aplicação dos conceitos

O conjunto cilindro-pistão, mostrado na figura 7, contém, inicialmente, 0,5 metros cúbicos de dióxido de carbono a  $400 \text{ kPa}$  e temperatura de  $423 \text{ K}$ . Os pesos são, então, adicionados a uma velocidade tal que o gás é comprimido segundo a relação  $PV^{1,2} = k$ , na qual  $k$  é uma constante. Admitindo que a temperatura final seja igual a  $543 \text{ K}$ , vamos determinar o trabalho  $\tau$  realizado durante esse processo.

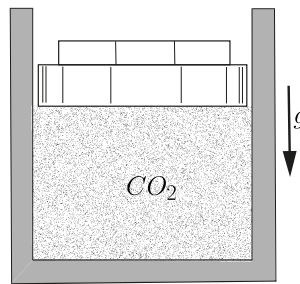


Figura 7: Conjunto cilindro-pistão.

Lembrando que  $PV^n = k$  e, uma vez que  $n = 1,2$ , que é diferente de 1 ( $n \neq 1$ ), temos que:

$$\tau = \int_1^2 P dV = \frac{P_2 V_2 - P_1 V_1}{1 - n}.$$

Assumindo que estamos lidando com um gás ideal, temos a relação  $PV = mRT$ , na qual  $P$  corresponde à pressão do gás,  $V$  é o volume,  $m$  é o número de moles do gás,  $R$  é a constante universal dos gases e  $T$  a temperatura.

Usando que  $PV = mRT$  e substituindo na expressão do trabalho obtido no caso em que  $n$  é diferente de 1, temos:

$$\tau = \frac{mRT_2 - mRT_1}{1 - n} = \frac{mR(T_2 - T_1)}{1 - n}.$$

Mas,

$$mR = \frac{P_1 V_1}{T_1} = \frac{400 (0,5)}{423} = 0,4728.$$

Assim,

$$\tau = \frac{0,4728(543 - 423)}{1 - 1,2} = -283,6 \text{ kJ}.$$

### 3.2 Aplicações dos Teoremas de Stokes e Gauss

Os teoremas de Stokes e Gauss possuem diversas aplicações nos campos científicos. Nesta seção, baseada em [1], [2] e [3], apresentamos um de seus principais usos que consiste na passagem da forma integral para a forma diferencial das equações de Maxwell. A notação diferencial é muito importante para o estudo do eletromagnetismo de modo mais avançado, sendo muito utilizada neste ramo da física.

As equações de Maxwell são as seguintes:

- Lei de Gauss da Eletricidade

$$\iint_S \vec{E} \cdot \vec{n} dS = \frac{q}{\epsilon_0}, \quad (5)$$

onde a expressão do lado esquerdo da equação é a integral de superfície do campo elétrico produzido pela carga  $q$  e  $\epsilon_0$  é uma constante chamada *permissividade no vácuo* ( $\epsilon_0 \approx 8,8542 \times 10^{-12} \text{ C}^2/\text{N m}^2$ ). Esta equação diz que o fluxo elétrico de  $\vec{E}$  passando por uma superfície fechada  $S$  é proporcional à carga total englobada por  $S$ .

A primeira equação diferencial é obtida aplicando o Teorema de Gauss na equação (5), na qual a carga  $q$  deve ser expressa em termos da densidade de cargas  $\rho$  como

$$q = \iiint_V \rho dV.$$

Assim, substituindo  $q$  em (5), temos

$$\iiint_V \vec{\nabla} \cdot \vec{E} dV = \iint_S \vec{E} \cdot \vec{n} dS = \frac{1}{\epsilon_0} \iiint_V \rho dV.$$

Logo,  $\iiint_V \left( \vec{\nabla} \cdot \vec{E} - \frac{\rho}{\epsilon_0} \right) dV = 0$  e, portanto,  $\vec{\nabla} \cdot \vec{E} - \frac{\rho}{\epsilon_0} = 0$ . Desse modo, chegamos à forma diferencial

$$\vec{\nabla} \cdot \vec{E} = \frac{\rho}{\epsilon_0}$$

- Lei de Gauss do Magnetismo

$$\iint_S \vec{B} \cdot \vec{n} dS = 0. \tag{6}$$

Esta segunda equação constata a inexistência do monopólo magnético, ou seja, não há formação de fluxo magnético em uma superfície fechada, já que todas as linhas do campo magnético  $\vec{B}$  saem e entram na mesma superfície. Utilizando o Teorema de Gauss na forma integral (6) obtém-se  $\iiint_V \vec{\nabla} \cdot \vec{B} = 0$ . Desse modo, chegamos à forma diferencial

$$\vec{\nabla} \cdot \vec{B} = 0.$$

- Lei de Faraday

$$\oint_C \vec{E} \cdot d\vec{r} = -\frac{d\Phi_{\vec{B}}}{dt} \tag{7}$$

onde  $\Phi_{\vec{B}}$  é o fluxo magnético. Esta equação relaciona a força eletromotriz com a variação do fluxo magnético. Utilizando o Teorema de Stokes e assumindo que as variáveis tempo e espaço dos campos vetoriais são independentes e sabendo que a Lei de Faraday na forma integral dá o fluxo magnético ( $\Phi_{\vec{B}}$ ) através de uma superfície aberta,

isto é,

$$\Phi_{\vec{B}} = \iint_S \vec{B} \cdot \vec{n} dS,$$

então,

$$\iint_S (\vec{\nabla} \times \vec{E}) \cdot \vec{n} dS = -\frac{\partial}{\partial t} \iint_S \vec{B} \cdot \vec{n} dS = -\iint_S \frac{\partial \vec{B}}{\partial t} \cdot \vec{n} dS.$$

Assim,  $\iint_S \left( \vec{\nabla} \times \vec{E} + \frac{\partial \vec{B}}{\partial t} \right) \cdot \vec{n} dS = 0$  e, portanto,

$$\vec{\nabla} \times \vec{E} = -\frac{\partial \vec{B}}{\partial t}.$$

Isso indica que o campo elétrico  $\vec{E}$  será um campo de vórtice (ou seja, possuirá rotacional diferente de zero e será um campo não conservativo) desde que o campo de indução magnética  $\vec{B}$  varie com o tempo.

- Lei de Ampère-Maxwell

$$\oint_C \vec{B} \cdot d\vec{r} = \mu_0 \left( I + \iint_S \frac{\partial \vec{E}}{\partial t} \cdot \vec{n} dS \right) \quad (8)$$

onde  $\mu_0 = 4\pi \times 10^{-7} \text{ (N/A}^2\text{)}$  é uma constante física chamada *permeabilidade do vácuo* e  $I$  é a corrente elétrica.

A quarta equação de Maxwell relaciona o campo magnético induzido ( $\vec{B}$ ) à corrente elétrica ( $I$ ) e à variação de fluxo elétrico no tempo  $\left( \frac{d\Phi_E}{dt} \right)$  (corrente de deslocamento).

Sabe-se que a corrente elétrica  $I$  pode ser relacionado ao campo densidade de corrente  $\vec{J}$  pela equação:

$$I = \iint_S \vec{J} \cdot \vec{n} dS,$$

sendo  $\vec{J}$  definido como a corrente vetorial que flui através de uma unidade de área da seção transversal perpendicular à direção da corrente elétrica.

Assim, aplicando o Teorema de Stokes, obtemos

$$\iint_S (\vec{\nabla} \times \vec{B}) \cdot \vec{n} dS = \oint_C \vec{B} \cdot d\vec{r} = \iint_S \left( \mu_0 \vec{J} + \epsilon_0 \frac{\partial \vec{E}}{\partial t} \right) \cdot \vec{n} dS.$$

Como todas as integrais são em relação à superfície  $S$ , seus integrandos devem ser iguais. Portanto,

$$\vec{\nabla} \times \vec{B} = \mu_0 \vec{J} + \mu_0 \epsilon_0 \frac{\partial \vec{E}}{\partial t}.$$

Concluimos, assim, a dedução das equações de Maxwell na forma diferencial

### 3.2.1 Aplicação dos conceitos

**Calculando o fluxo de um campo elétrico.** A superfície quadrada da figura 8 tem 3,2 milímetros de lado. Ela está imersa num campo elétrico uniforme  $\vec{E}$  com norma  $\|\vec{E}\| = 1800 \text{ N/C}$ . As linhas do campo formam um ângulo de 35 graus com a normal, apontando para fora, como é mostrado na figura 8. Vamos calcular o fluxo elétrico através da superfície.

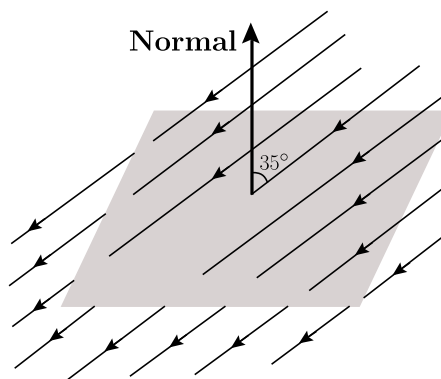


Figura 8: Figura ilustrativa da aplicação.



Em todos os pontos da superfície, o módulo do campo elétrico vale  $1800 \text{ N/C}$  e o ângulo  $\theta$  entre  $\vec{E}$  e a normal é dado por  $\theta = 180^\circ - 35^\circ = 135^\circ$ .

O fluxo elétrico de um campo  $\vec{E}$  é definido tanto para superfícies abertas quanto fechadas como a integral de superfície  $\Phi_E = \iint_S \vec{E} \cdot \vec{n} \, dS$ .

Neste caso,

$$\Phi_E = \iint_S \vec{E} \cdot \vec{n} \, dS = \|\vec{E}\| A \cos(\theta),$$

onde  $A$  é a área da superfície  $S$ . Portanto,

$$\Phi_E = 1800 (3, 2 \cdot 10^{-3})^2 \cos(135^\circ) = -0,0151 \text{ Nm}^2/\text{C}.$$

**Determinando a densidade de carga elétrica.** Dado o campo elétrico

$$\vec{E}(x, y, z) = \begin{cases} ax^2 \vec{i}, & 0 \leq x \leq 2 \\ b \vec{i}, & x > 2 \end{cases}$$

onde  $a$  e  $b$  são constantes.

Pela lei de Gauss na forma diferencial, na região em que  $0 \leq x \leq 2$ ,

$$\frac{\rho}{\epsilon_0} = \vec{\nabla} \cdot \vec{E} = \left( \frac{\partial \vec{i}}{\partial x} + \frac{\partial \vec{j}}{\partial y} + \frac{\partial \vec{k}}{\partial z} \right) \cdot (ax^2 \vec{i}) = \frac{\partial ax^2}{\partial x} = 2xa.$$

Assim,  $\rho = 2xa \epsilon_0$ . Por exemplo, na região do espaço em que  $x = 1/2$  temos  $\rho = a \epsilon_0$ .

Já na região em que  $x > 2$ :

$$\frac{\rho}{\epsilon_0} = \vec{\nabla} \cdot \vec{E} = \left( \frac{\partial \vec{i}}{\partial x} + \frac{\partial \vec{j}}{\partial y} + \frac{\partial \vec{k}}{\partial z} \right) \cdot (b \vec{i}) = \frac{\partial b}{\partial x}.$$

Assim, na região do espaço para a qual  $x > 2$ ,  $\rho = 0$ .

#### 4 Conclusão

Nota-se, portanto, que uma vasta área da engenharia, em geral, depende diretamente da aplicação das integrais de linha. O trabalho realizado pelos pistões é um tema extremamente importante devido a aplicabilidade do sistema acima em todos os motores projetados por engenheiros. Por isso, com a realização dos estudos acima mostrados, foi possível visualizar aplicações de matérias do ciclo básico da engenharia em áreas extremamente importantes no mercado de trabalho e também ter um entendimento maior dos conceitos de integrais de linha. Ademais, com a transformação das Equações de Maxwell em diferenciais, extremamente utilizadas nos conceitos de Eletromagnetismo, os quais são de grande importância para a área de exatas, foi possível visualizar o uso das integrais de superfície, juntamente com os Teoremas de Stokes e Gauss.

Aplicações práticas auxiliam muito no aprendizado e fixação dos conceitos visualizados em sala de aula e, portanto, a pesquisa descrita acima pode demonstrar como conceitos básicos de algumas disciplinas podem ser extremamente úteis a longo prazo.

#### 5 Agradecimentos

Agradeço a professora Taciana Oliveira Souza, pela orientação e apoio para o desenvolvimento deste trabalho. Agradeço, também, ao programa de iniciação científica da Universidade Federal de Uberlândia, o qual incentiva a pesquisa nas mais diversas áreas, possibilitando um enorme ganho de conhecimento para os alunos.

#### Referências

- [1] Olivier Darrigol. *Electrodynamics from Ampere to Einstein*. Oxford University Press Inc., 2000.
- [2] Daniel Fleisch. *A Student's Guide to Maxwell's Equations*. Cambridge University Press, 2008.

- [3] David Halliday, Robert Resnick, and Jearl Walker. *Fundamentos de Física 3 -Eletromagnetismo*. Livros Técnicos e Científicos Editora S.A., 1993.
- [4] Roberto Vieira Pordeus. *Fenômenos de Transporte (Termodinâmica)*. 2008. <http://www2.ufersa.edu.br/portal/view/uploads/setores/111/CAP>.
- [5] James Stewart. *Cálculo, Volume 2*. São Paulo: Cengage Learning, 2013.
- [6] Gordon J. Van Wylen, Richard E. Sonntag, and Claus Borgnakke. *Fundamentos da Termodinâmica Clássica*. Edigar Blucher Ltda., 2009.